



**Tạp chí**

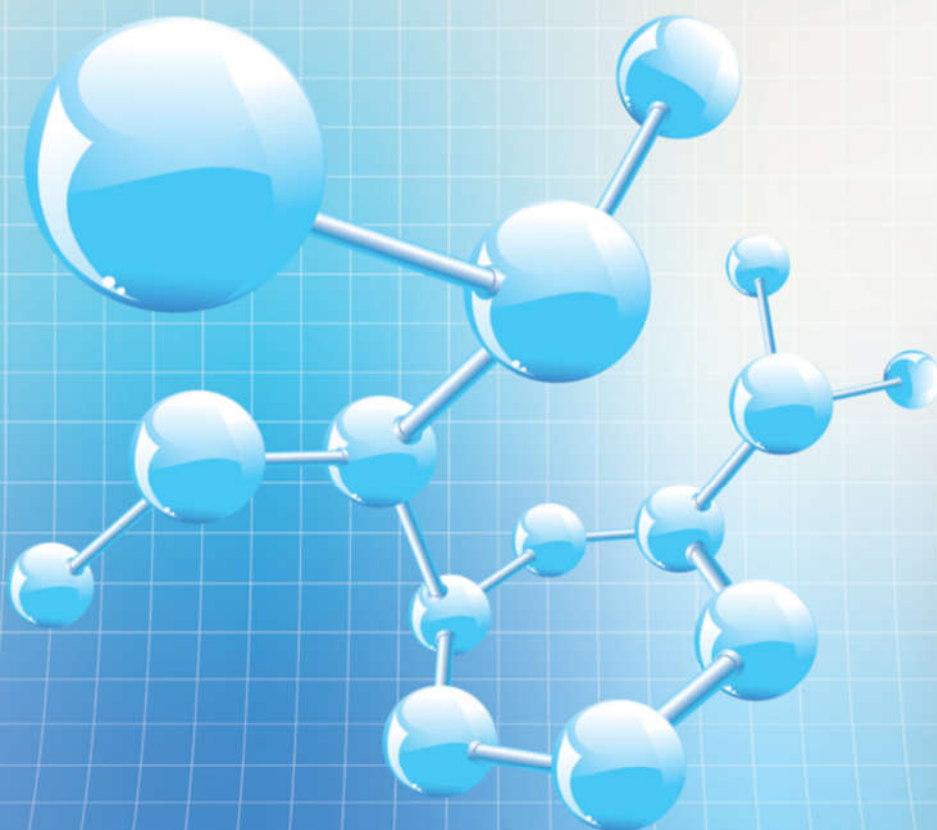
# **NGHIÊN CỨU KHOA HỌC**

**ĐẠI HỌC SAO ĐỎ**

**SCIENTIFIC JOURNAL - SAO DO UNIVERSITY**

**P. ISSN 1859-4190**

**E. ISSN 2815-553X**



**Số 3 (82)**

**2023**

**P. ISSN 1859-4190**  
**E. ISSN 2815-553X**

■ **Tổng Biên tập**

TS. Đỗ Văn Đình

■ **Phó Tổng biên tập**

TS. Nguyễn Thị Kim Nguyễn

■ **Thư ký Tòa soạn**

TS. Ngô Hữu Mạnh

■ **Hội đồng Biên tập**

NGND.TS. Đình Văn Nhung - Chủ tịch Hội đồng

GS.TS. Phạm Thị Ngọc Yến

PGS.TSKH. Trần Hoài Linh

PGS.TS. Nguyễn Quốc Cường

PGS.TS. Nguyễn Văn Liên

GS.TSKH. Thân Ngọc Hoàn

GS.TSKH. Bành Tiến Long

GS.TS. Trần Văn Địch

GS.TS. Phạm Minh Tuấn

PGS.TS. Nguyễn Doãn Ý

GS.TS. Đình Văn Sơn

PGS.TS. Trần Thị Hà

PGS.TS. Trương Thị Thủy

TS. Vũ Quang Thập

PGS.TS. Nguyễn Thị Bất

GS.TS. Đỗ Quang Kháng

TS. Bùi Văn Ngọc

PGS.TS. Ngô Sỹ Lương

PGS.TS. Khuất Văn Ninh

GS.TSKH. Phạm Hoàng Hải

PGS.TS. Đoàn Ngọc Hải

PGS.TS. Nguyễn Ngọc Hà

GS.TS. Yu Ming Zhang

TS. Nguyễn Văn Anh

■ **Ban Biên tập**

ThS. Đoàn Thị Thu Hằng - Trưởng ban

ThS. Đào Thị Vân

■ **Editor-in-Chief**

Dr. Do Van Dinh

■ **Vice Editor-in-Chief**

Dr. Nguyen Thi Kim Nguyen

■ **Office Secretary**

Dr. Ngo Huu Manh

■ **Editorial Board**

People's Teacher, Dr. Dinh Van Nhung - Chairman

Prof.Dr. Pham Thi Ngoc Yen

Assoc.Prof.Dr.Sc. Tran Hoai Linh

Assoc.Prof.Dr. Nguyen Quoc Cuong

Assoc.Prof.Dr. Nguyen Van Lien

Prof.Dr.Sc. Than Ngoc Hoan

Prof.Dr.Sc. Banh Tien Long

Prof.Dr. Tran Van Dich

Prof.Dr. Pham Minh Tuan

Assoc.Prof.Dr. Nguyen Doan Y

Prof.Dr. Dinh Van Son

Assoc.Prof.Dr. Tran Thi Ha

Assoc.Prof.Dr. Truong Thi Thuy

Dr. Vu Quang Thap

Assoc.Prof.Dr. Nguyen Thi Bat

Prof.Dr. Do Quang Khang

Dr. Bui Van Ngoc

Assoc.Prof.Dr. Ngo Sy Luong

Assoc.Prof.Dr. Khuat Van Ninh

Prof.Dr.Sc. Pham Hoang Hai

Assoc.Prof.Dr. Doan Ngoc Hai

Assoc.Prof.Dr. Nguyen Ngoc Ha

Prof.Dr. Yu Ming Zhang

Dr. Nguyen Van Anh

■ **Editorial**

MSc. Doan Thi Thu Hang - Head

MSc. Dao Thi Van

**Địa chỉ Tòa soạn:**

Trường Đại học Sao Đỏ.

Số 76, Nguyễn Thị Duệ, Thái Học 2, phường Sao Đỏ, thành phố Chí Linh, tỉnh Hải Dương.

Điện thoại: (0220) 3587213, Fax: (0220) 3882 921, Hotline: 0912 107858/0936 847980.

Website: <http://tapchikhcn.saodo.edu.vn/> Email: [tapchikhcn@saodo.edu.vn](mailto:tapchikhcn@saodo.edu.vn).

Giấy phép xuất bản số: 620/GP-BTTTT ngày 17/9/2021 của Bộ Thông tin và Truyền thông.  
In 2.000 bản, khổ 21 × 29,7cm, tại Công ty TNHH in Tre Xanh, cấp ngày 17/02/2011.

TẠP CHÍ

NGHIÊN CỨU KHOA HỌC

ĐẠI HỌC SAO ĐỎ

TRONG SỐ NÀY

SỐ 3(82) 2023

### LIÊN NGÀNH ĐIỆN - ĐIỆN TỬ - TỰ ĐỘNG HÓA

Thiết kế bộ điều khiển bền vững thích nghi trên cơ sở mạng neuron hướng tâm cho robot tìm và làm sạch bản	5	Vũ Thị Yến Nguyễn Thị Sim Dương Thị Hoa
Ăng-ten phân cực kép cho các điểm truy cập vô tuyến 5G trong nhà	12	Lê Thị Cẩm Hà Lương Quang Năng Phạm Hồng Thịnh Nguyễn Trọng Các
Ứng dụng mạng tích chập cho nhận diện biển báo giao thông	17	Nguyễn Thế Trung Đặng Thành Trung Phạm Thị Hường Phạm Văn Kiên

### LIÊN NGÀNH CƠ KHÍ - ĐỘNG LỰC

Nghiên cứu ảnh hưởng của nhiệt độ nước, thời gian giặt và tốc độ vắt đến độ co của vải kaki thun vân chéo 2/1	23	Đỗ Thị Tần Nguyễn Quang Thoại
Phân tích sức bền giới hạn kết cấu tàu dưới tác dụng của tải trọng tổng thể và tải trọng cục bộ	29	Vũ Văn Tân Nguyễn Thị Hồng Nhung Nguyễn Hữu Chấn Phạm Ngọc Linh
Nghiên cứu, thiết kế và tối ưu hóa cấu trúc kết cấu cơ khí trên thiết bị sấy lồng quay của dây chuyền xử lý rác thải	34	Mạc Văn Giang
Nghiên cứu sự ảnh hưởng của mặt đường đến quỹ đạo quay vòng của xe ô tô tải	42	Đào Đức Thụ Nguyễn Đình Cường Phạm Văn Trọng Vũ Văn Chương Liu Qi-yue

### NGÀNH TOÁN HỌC

Bất đẳng thức tích chập của phép biến đổi Fourier cosine và Laplace với hàm trọng	46	Nguyễn Kiều Hiền
---	----	------------------

### NGÀNH KINH TẾ

Đẩy mạnh ứng dụng công nghệ chuỗi khối (Blockchain) trong lĩnh vực kế toán - kiểm toán tại Việt Nam	51	Nguyễn Thị Quỳnh
Xu hướng chuyển dịch nguồn nhân lực phục vụ phát triển nông nghiệp bền vững ở Hải Dương hiện nay - những vấn đề đặt ra	57	Vũ Văn Đông

**NGÀNH KINH TẾ**

Chuyển đổi số - những thách thức và cơ hội cho sự phát triển du lịch Việt Nam 63 Nguyễn Thị Thảo  
Trần Thị Mai Hương

**LIÊN NGÀNH HÓA HỌC - CÔNG NGHỆ THỰC PHẨM**

Nghiên cứu khả năng hấp phụ xanh methylen trong nước của vật liệu chế tạo từ đất sét Trúc Thôn và tro trấu 68 Vũ Hoàng Phương

**LIÊN NGÀNH KHOA HỌC TRÁI ĐẤT - MỎ**

Đẩy mạnh phát triển du lịch sinh thái nhằm hạn chế và ứng phó với biến đổi khí hậu 73 Nguyễn Thị Thảo  
Trần Thị Mai Hương  
Tăng Thị Hồng Minh

Xây dựng các sản phẩm du lịch đặc thù của tỉnh Hải Dương hiện nay 80 Nguyễn Đăng Tiến

**LIÊN NGÀNH VĂN HÓA - NGHỆ THUẬT - THỂ DỤC THỂ THAO**

Phát triển hoạt động tổ chức Teambuilding cho sinh viên du lịch Trường Đại học Sao Đỏ 87 Nguyễn Thị Sao  
Nguyễn Thị Hương Huyền  
Nguyễn Thị Xuyên

Xây dựng môi trường văn hóa ở tỉnh Hải Dương hiện nay 93 Trần Hoàng Yến  
Đặng Thị Thanh

**LIÊN NGÀNH TRIẾT HỌC - XÃ HỘI HỌC - CHÍNH TRỊ HỌC**

Đạo đức Phật giáo và ảnh hưởng của đạo đức đó với xã hội Việt Nam hiện nay 100 Vũ Văn Đông  
Vũ Văn Chương  
Hà Đình Soát

Phát huy năng lực tự học của sinh viên trong dạy học Triết học Mác - Lênin 108 Nguyễn Thị Nhan  
Vũ Văn Chương

Đổi mới phương pháp giảng dạy học phần Lịch sử Đảng Cộng sản Việt Nam gắn với giá trị cốt lõi của Trường Đại học Sao Đỏ 113 Đặng Thị Dung

Phát huy giá trị đạo đức truyền thống trong việc xây dựng đạo đức mới cho phụ nữ hiện nay 120 Trần Thị Hồng Nhung

**TITLE FOR ELECTRICITY - ELECTRONICS - AUTOMATION**

Design of the robust adaptive controller based RBF neural network for cleaning and detecting robot manipulators	5	Vu Thi Yen Nguyen Thi Sim Duong Thi Hoa
Dual polarized antenna for 5G indoor access points	12	Le Thi Cam Ha Luong Quang Nang Pham Hong Thinh Nguyen Trong Cac
Traffic sign recognition using convolutional network	17	Nguyen The Trung Dang Thanh Trung Pham Thi Huong Pham Van Kien

**TITLE FOR MECHANICAL AND DRIVING POWER ENGINEERING**

Study on the effect of water temperature, washing time and spin speed on shrinkage of 2/1 twill weave khaki fabric	23	Do Thi Tan Nguyen Quang Thoai
Ultimate strength analysis of ship structures under combined global and local load	29	Vu Van Tan Nguyen Thi Hong Nhung Nguyen Huu Chan Pham Ngoc Linh
Study, design and optimize the mechanical structure on the rotary drum dryer of the waste treatment line	34	Mac Van Giang
Studying the influence of road surface on the turning trajectory of trucks	42	Dao Duc Thu Nguyen Dinh Cuong Pham Van Trong Vu Van Chuong Liu Qi-yue

**TITLE FOR MATHEMATICS**

Convolution inequalities of the Fourier cosine transform and the Laplace with a weight function	46	Nguyen Kieu Hien
---	----	------------------

**NGÀNH KINH TẾ**

Promoting the application of Blockchain technology (Blockchain) in the field of accounting and auditing in Viet Nam	51	Nguyen Thi Quynh
The current trend of shifting human resources to serve sustainable agricultural development in Hai Duong - issues raised	57	Vu Van Dong
Digital transformation - challenges and opportunities for Vietnam's tourism development	63	Nguyen Thi Thao Tran Thi Mai Huong

**TITLE FOR CHEMISTRY AND FOOD TECHNOLOGY**

Study on capacity adsorption of methylene blue ion in water of materials prepared from Truc Thon clay and rice husk ash 68 Vu Hoang Phuong

**TITLE FOR EARTH SCIENCE - MINING**

Promote development of ecotourism to reduce and cope with climate change 73 Nguyen Thi Thao  
Tran Thi Mai Huong  
Tang Thi Hong Minh

Build up the specific tourism products of Hai Duong province 80 Nguyen Dang Tien

**TITLE FOR CULTURE - ART - SPORTS**

Developing teambuilding activities for tourism students at Sao Do University 87 Nguyen Thi Sao  
Nguyen Thi Huong Huyen  
Nguyen Thi Xuyen

Building a cultural environment in Hai Duong province today 93 Tran Hoang Yen  
Dang Thi Thanh

**TITLE FOR PHILOSOPHY - SOCIOLOGY - POLITICAL SCIENCE**

Buddhist ethics and its influence on Vietnamese society today 100 Vu Van Dong  
Vu Van Chuong  
Ha Dinh Soat

Promoting students' self-study capacity in teaching Marxist-Leninist philosophy 108 Nguyen Thi Nhan  
Vu Van Chuong

Innovating teaching methods for the History of the Communist Party of Vietnam course in association with the core values of Sao Do University 113 Dang Thi Dung

Promoting traditional moral values in building a new morality for today's women 120 Tran Thi Hong Nhung

# Nghiên cứu, thiết kế và tối ưu hóa cấu trúc kết cấu cơ khí trên thiết bị sấy lồng quay của dây chuyền xử lý rác thải

Study, design and optimize the mechanical structure on the rotary drum dryer of the waste treatment line

Mạc Văn Giang

Tác giả liên hệ: macvngiang@gmail.com

Trường Đại học Sao Đỏ

Ngày nhận bài: 13/01/2023

Ngày nhận bài sửa sau phản biện: 17/3/2023

Ngày chấp nhận đăng: 02/10/2023

## Tóm tắt

Lồng quay là thiết bị quan trọng có chức năng sấy và điều phối năng suất trên dây chuyền xử lý rác thải. Thông qua các điều kiện làm việc nội dung bài báo trình bày phương pháp tính toán, thiết kế kết cấu cơ khí của thiết bị sấy lồng quay và thực hiện tối ưu hóa khối lượng (thể tích) của các chi tiết khối lượng lớn nhằm giảm chi phí vật liệu, giảm chi phí gia công và giảm tiêu thụ điện năng cho hệ thống góp phần nâng cao tối đa tính hiệu quả trong xử lý rác thải. Kết quả bài báo cũng đã xây dựng được mô hình, bản vẽ của thiết bị sấy lồng quay với năng suất khoảng 50 tấn/ngày trong điều kiện xử lý rác thải nhựa, làm cơ sở cho việc chế tạo sau này.

**Từ khóa:** Thiết kế; thiết bị sấy; lồng quay; tính toán; tối ưu hóa; cấu trúc; xử lý rác.

## Abstract

The rotating cage is an important device with the function of drying and controlling the productivity on the waste treatment line. Through the working conditions, the article presents the calculation method, design the mechanical structure of the rotary cage dryer and optimize the volume (can be analyzed) of the mass details. The purpose is to reduce document costs, reduce processing costs and reduce power consumption for the system, contributing to improving the maximum efficiency of computation in garbage treatment. The results of the article have also built a model and drawing of a rotary drying equipment with a capacity of about 50 tons/day in the condition of plastic waste management, as a treatment basis for later manufacturing.

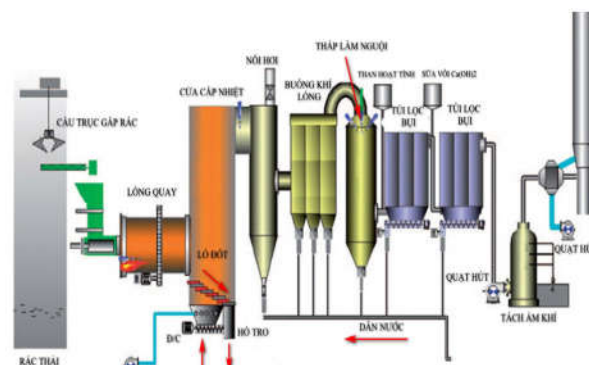
**Keywords:** Design; drying equipment; rotating cage; calculation, optimization; structure; garbage handling.

## 1. ĐẶT VẤN ĐỀ

Lồng quay có chức năng sấy rác thải và điều phối khối lượng rác thải vào lò đốt, đây là loại thiết bị làm việc theo nguyên lý sấy xếp tầng không khí nóng đốt trực tiếp làm khô rác thải khi rác thải có độ ẩm thấp (<30%) thì hiệu quả sấy có thể đạt tới 90%+95% chất rắn khô, với độ ẩm của rác cao từ 30%+45% thì hiệu quả sấy có thể đạt từ 55%+65% chất rắn khô. Rác thải được sấy khô nhẹ nhàng khi nó đi qua luồng không khí nóng. Luồng không khí nóng được cung cấp bởi vòi đốt khí đốt trực tiếp thường hoạt động với khí tự nhiên hoặc khí sinh học.

Lồng quay hoạt động bằng cách đảo lộn rác thải trong trống quay với sự có mặt của không khí sấy. Lồng quay được định vị ở một độ dốc ngang nhỏ để cho phép trọng lực hỗ trợ di chuyển vật liệu qua lồng quay nhờ các cánh đảo trộn và cánh dẫn, các cánh đảo trộn sẽ đưa vật liệu và thả nó qua luồng không khí để tối đa

hóa hiệu quả truyền nhiệt [1], Hình 1 biểu diễn sơ đồ dây chuyền xử lý rác thải.



Hình 1. Sơ đồ dây chuyền xử lý rác thải [1]

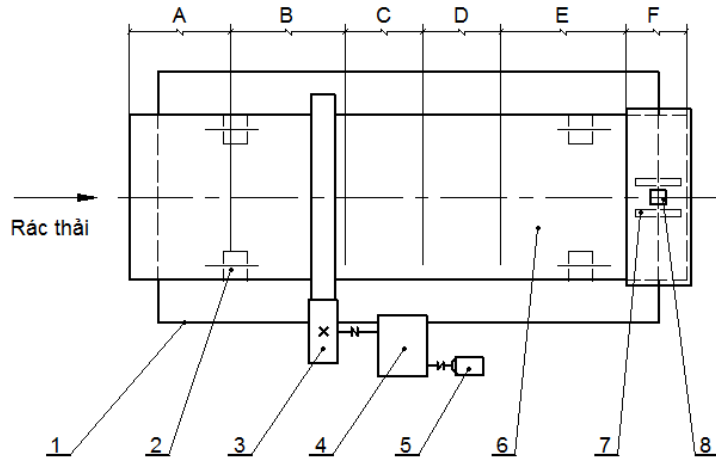
Trong hệ thống xử lý rác nói chung và hệ thống xử lý rác thải nhựa PE, PVC nói riêng việc sấy khô chất thải trước khi đưa vào lò đốt đóng vai trò rất quan trọng cho toàn bộ quá trình xử lý và chất thải, đảm bảo sự đốt cháy diễn ra đồng đều, nâng cao năng suất và tính ổn định của quá trình xử lý tro, khí thải và nước thải trên dây chuyền hệ thống xử lý rác thải. Trong bài báo

Người phản biện: 1. PGS.TS. Trần Vệ Quốc  
2. TS. Nguyễn Văn Hình

này trình bày kết quả của việc nghiên cứu, thiết kế, mô phỏng, tối ưu hóa kết cấu cơ khí lồng quay trên dây chuyền xử lý rác thải nhựa.

## 2. THIẾT KẾ THIẾT BỊ SẤY LỒNG QUAY

### 2.1. Sơ đồ nguyên lý của thiết bị



A- Khu vực cánh đảo trộn thô; B- Khu vực cánh dẫn liệu vào; C- Khu vực cánh đảo trộn tinh lần 1; D- Khu vực cánh đảo trộn tinh lần 2; E- Khu vực cánh dẫn liệu ra; F- Khu vực cánh gạt liệu khỏi lồng quay

1- Khung thép; 2- Gối đỡ con lăn; 3- Cặp bánh răng trụ; 4- Hộp giảm tốc; 5- Động cơ điện; 6- Lồng quay; 7- Cửa ra rác; 8- Cửa hút khí

Hình 2. Sơ đồ nguyên lý thiết bị sấy lồng quay

Thùng quay được đỡ bởi 4 gối đỡ con lăn bố trí theo hình chữ V và được dẫn động bởi động cơ điện thông qua hộp giảm tốc và bộ truyền bánh răng trụ. Trên thùng quay được bố trí thành 6 khu vực cánh đảo trộn theo thứ tự làm việc A, B, C, D, E, F.

Tại khoang sấy có nhiệt độ từ  $50^{\circ}\text{C} \div 200^{\circ}\text{C}$  và đồng thời đảo trộn thô để đảm bảo hiệu quả của việc sấy, sau đó rác được đưa vào khu vực cánh dẫn liệu vào có kết cấu dạng chữ U, rác tiếp tục được di chuyển sang khu vực cánh đảo trộn tinh lần 1 và khu vực cánh đảo trộn tinh lần 2, tại vị trí này rác được đảo trộn đồng đều ở mức tối đa, sau đó rác được khu vực cánh gạt liệu khỏi lồng quay nhờ vào sự phân phối của khu vực cánh dẫn liệu ra, hơi nước phát sinh trong quá trình sấy ẩm được thoát ra qua cửa hút khí.

## 2.2. Thiết kế thiết bị sấy lồng quay

### 2.2.1. Điều kiện thiết kế

- Tốc độ quay của lồng:  $n=5 \div 6$  (v/p);
- Thời gian làm việc liên tục 24 giờ;
- Năng suất: 45÷50 tấn/ngày đêm (24 giờ).

### 2.2.2. Tính toán các thông số kết cấu và động lực học

#### a. Chọn chiều dài lồng quay

Theo [1] khi so sánh các thiết bị sấy lồng quay có cùng đường kính hoặc diện tích mặt cắt ngang và có cùng tốc độ quay, năng suất sản xuất có thể tăng lên khi tăng thêm chiều dài, nhưng với tỷ lệ nhỏ hơn tỷ lệ tăng chiều dài. Một số thử nghiệm được thực hiện bởi Công ty Barber-Greene tại bang Aurora Hoa Kỳ năm 1960 cho thấy rằng với tất cả các yếu tố khác không đổi, với thiết bị sấy lồng quay có chiều dài  $6\text{ m} < L \leq 9\text{ m}$  khi tăng 50% chiều dài thì năng suất chỉ tăng 20,5%, nói cách khác, chiều dài bổ sung chỉ có hiệu quả một phần trong khả

năng của thiết bị sấy, do đó chọn chiều dài của thiết bị sấy lồng quay  $L=6\text{ m}$ .

#### b. Chọn chiều dày thành lồng quay và vật liệu

Chọn chiều dày thành lồng quay  $t=12\text{ mm}$ , vật liệu chế tạo là thép không gỉ SUS304.

#### c. Chọn góc nghiêng lồng quay

Theo [2] ảnh hưởng của độ dốc vỏ (S) máy sấy được xem xét riêng biệt với ảnh hưởng của tốc độ quay, ở một tốc độ nhất định của lồng quay, thời gian lưu tỷ lệ nghịch với độ dốc của vỏ, độ dốc của vỏ được tính toán gián tiếp thông qua góc nghiêng của lồng quay theo công thức sau:

$$S = 10 \cdot \text{tg}\alpha (\text{cm/m}) \quad (1)$$

Với  $\alpha = 1^{\circ} \div 14^{\circ}$  thay vào (1) được  $S = 0,17 \div 2,49$ , chọn  $S = 2$  tương ứng với  $\alpha=11^{\circ}$ .

#### d. Chọn đường kính lồng quay

Theo [3] chọn đường kính lồng quay  $D = 1600\text{ mm} = 1,6\text{ m}$ .

#### e. Chọn tốc độ quay của lồng quay

Theo [4] thông qua thực nghiệm mối quan hệ giữa tốc độ quay và đường kính lồng quay được xác định theo công thức sau:

$$n \cdot D = 9 \div 12 \quad (2)$$

Trong đó:

D có đơn vị tính là m. Từ (2) suy ra:

$$n = 5,6 \div 7,5 \text{ chọn } n=6 (\text{v/p}).$$

#### f. Chọn động cơ dẫn động

Theo [3] chọn động cơ điện Việt - Hung có công suất  $P_{\text{đc}} = 7,5 (\text{kW})$ ,  $n_{\text{đc}} = 1450 (\text{v/p})$  lắp với hộp giảm tốc ZQ400 làm việc ở chế độ tải nặng có tỉ số truyền  $i_n = 40,17$ .

**g. Kết cấu và bố trí cánh đảo trộn và dẫn liệu**

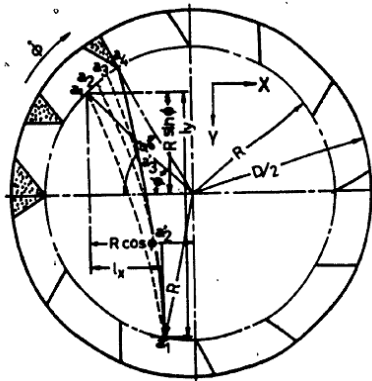
Hình dạng và bố trí các cánh đảo trộn và dẫn liệu phụ thuộc vào nhiệt độ của khí đi vào và mức độ tiếp xúc của rác thải với khí nóng và thời gian lưu để hỗ trợ quá trình truyền nhiệt và phân phối rác thải vào lò đốt. Hình dạng thực tế của các cánh phụ thuộc vào đặc tính vật lý của nguyên liệu ướt trong quá trình sấy khô. Hình dạng của cánh đảo trộn thường sử dụng là uốn cong đơn, uốn cong đôi và uốn cong kết hợp, hình dạng của cánh dẫn liệu sử dụng dạng chữ U.

**h. Tính toán thời gian lưu**

Theo công thức 29 [4] thời gian lưu được xác định từ công thức thực nghiệm sau:

$$t = 3,094 \cdot \frac{\sqrt{\Phi_r} \cdot L}{n \cdot D \cdot S} \cdot k \text{ (phút)} \tag{3}$$

Trong đó:  $\Phi_r$ : Là góc nghỉ tính theo phương ngang cắt qua tiết diện của lồng quay mà trên đó rác thải không vươn tới (Hình 3).



Hình 3. Sơ đồ tính toán góc nghỉ

Theo Bảng 2 [4] xác định được  $\Phi_r = 35^\circ$ .

+ Hệ số tính toán để bù lại sai số do chế tạo và các sai số ngẫu nhiên trong quá trình làm việc chọn  $k = 1,2$ .

Thay số liệu vào (3) được:

$$t = 3,094 \cdot \frac{\sqrt{35} \cdot 6,5}{6 \cdot 1,6 \cdot 2} \cdot 1,2 = 7,4 \text{ (phút)}$$

**j. Tính toán khối lượng rác thải trên lồng quay tại một thời điểm**

$$M = \frac{\pi \cdot (D-2t)^2 \cdot L \cdot A}{4} \cdot \frac{360-\Phi}{360} \cdot K_r \text{ (kg)} \tag{4}$$

Trong đó:

A là khối lượng rác thải nhựa tính trên 1 m<sup>3</sup>, theo Bảng 2[1]:  $A = 23L_b / F_t^3 = 36,8 \text{ kg/m}^3$ .

$K_r$  là hệ số độ rỗng do cánh gạt tác động trong lồng quay  $K_r = 0,6$ .

Thay các số liệu vào (4) được:

$$M = \frac{3,14 \cdot (1,6-2 \cdot 0,012)^2 \cdot 6,5 \cdot 36,8}{4} \cdot \frac{360-35}{360} \cdot 0,6 = 253 \text{ (kg)}$$

**k. Năng suất xử lý rác trong 1 ngày đêm (24 giờ)**

$$P = m \cdot t_p / t \tag{5}$$

Trong đó số phút trong một ngày đêm:

$$t_p = 24 \cdot 60 = 1440 \text{ phút}$$

Thay số vào (5) được:

$$P = 253 \cdot 1440 / 7,4 = 49232 \text{ (kg)}$$

**2.2.3. Thiết kế bộ truyền động bánh răng**

Để thiết bị làm việc êm, tuổi thọ lớn chọn bộ truyền động trên thiết bị sấy lồng quay là bộ truyền bánh răng trụ, các bước tính toán thiết kế gồm:

- Tính toán tỉ số truyền.

$$i_{br} = \frac{n_{dc}}{n \cdot i_h} = \frac{1450}{40 \cdot 17,6} = 6$$

- Chọn vật liệu chế tạo: Thép 36Mn5 có  $[\sigma_b] = 600 \text{ MPa}$ ,  $[\sigma_H] = 850 \text{ MPa}$ .

- Tính toán hệ số chiều rộng vành răng.

$$\Psi_{ba} = \frac{\Psi_{bd}}{u+1} \tag{6}$$

- Công suất tối đa trên lồng quay (gắn bánh răng bị động).

Theo Bảng 6.7[5]:  $\Psi_{bd} = 0,8$ ;  $K_{H\beta} = 1,45$ .

Thay số các giá trị của  $u = 6$  và  $\Psi_{bd} = 0,8$  vào (6) được  $\Psi_{ba} = 0,114$ .

**h. Tính công suất tối đa trên trục bánh răng chủ động**

$$P_{br}^1 = P_{dc} \cdot \eta_h \tag{7}$$

Hộp giảm tốc gồm 2 cặp bánh răng ăn khớp và 2 cặp ổ lăn do đó hiệu suất của hộp giảm tốc được tính:

$$\eta_h = \eta_{br}^2 \cdot \eta_o^2 \tag{8}$$

Thay (8) vào (7) được (9):

$$P_{br1} = P_{dc} \cdot \eta_{br}^2 \cdot \eta_o^2 \tag{9}$$

Theo Bảng 2.3[5]:

Hiệu suất của ổ lăn:  $\eta_o = 0,99$ .

Hiệu suất của bộ truyền bánh răng:  $\eta_{br} = 0,98$ .

Thay các giá trị hiệu suất vào [9] được:

$$P_{br1} = 7,5 \cdot 0,98^2 \cdot 0,99^2 = 7 \text{ (kW)}$$

$$P_{lq} = P_{br1} \cdot \eta_{br} \cdot \eta_g^2 \tag{10}$$

Theo Bảng 2.3[6]:

Hiệu suất của gối đỡ:  $\eta_g = 0,99$ .

Thay các giá trị hiệu suất vào [10] được:

$$P_{lq} = 7,0 \cdot 0,98 \cdot 0,99^2 = 6,72 \text{ (kW)}$$

- Tính mô men xoắn tối đa trên trục bánh răng chủ động.

$$T_{br1} = 9,55 \cdot 10^6 \cdot \frac{P_{br1}}{n_{br1}} = 9,55 \cdot 10^6 \cdot \frac{7}{36} = 1857 \cdot 10^3 \text{ (N.mm)}$$

$$T_{lq} = 9,55 \cdot 10^6 \cdot \frac{P_{br2}}{n_{br2}} = 9,55 \cdot 10^6 \cdot \frac{6,72}{6} = 107 \cdot 10^5 \text{ (N.mm)}$$

- Tính khoảng cách trục của bộ truyền bánh răng.

$$a_w = k_A \cdot (u+1) \sqrt[3]{\frac{T_{br2} \cdot K_{HB}}{[\sigma_H]^2 \cdot u \cdot \Psi_{ba}}} \quad (11)$$

Theo **Bảng 6.5 [5]**, hệ số phụ thuộc vào cặp vật liệu chế tạo bánh răng là thép-thép thì:  $k_A = 49,5$ .

Thay các số liệu vào (8) được:

$$a_w = 49,5 \cdot (6+1) \sqrt[3]{\frac{10700 \cdot 10^3 \cdot 1,45}{850^2 \cdot 6 \cdot 0,114}} = 1092,96(\text{mm})$$

Theo dãy tiêu chuẩn chọn  $a_w = 1092$  mm.

- Tính chọn module.

$$m = (0,01 \div 0,02) \cdot a_w = 10,92 \div 21,84$$

Theo dãy tiêu chuẩn chọn  $m = 12$ .

- Tính số răng của bánh chủ động.

$$Z_1 = \frac{2 \cdot a_w}{m(u+1)} = \frac{2 \cdot 1092}{12 \cdot (6+1)} = 26 \text{ (răng)}$$

- Tính số răng của bánh bị động.

$$Z_2 = u \cdot Z_1 = 6 \cdot 26 = 156 \text{ (răng)}$$

- Tính chiều rộng vành răng bánh bị động (bánh lớn).

$$b_{w1} = \Psi_{ba} \cdot a_w = 0,114 \cdot 1092 = 125(\text{mm})$$

Để đảm bảo chiều dài ăm khớp chọn chiều rộng vành răng bánh chủ động (bánh nhỏ).

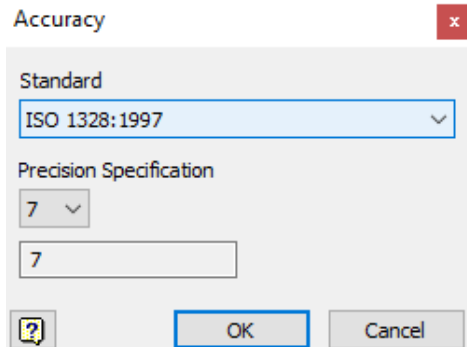
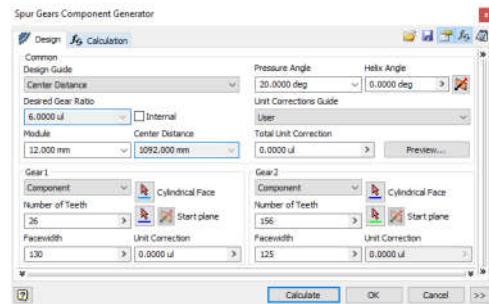
$$b_{w2} = b_{w1} + 5 = 125 + 5 = 130(\text{mm})$$

**Bảng 1. Tổng hợp các số liệu thiết kế bộ truyền bánh răng trụ răng thẳng**

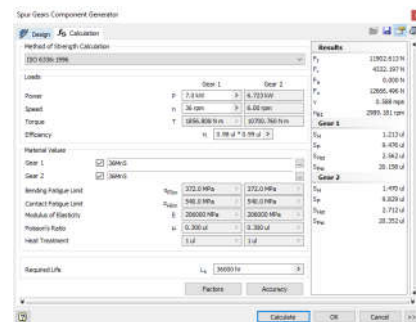
TT	Tên gọi	Ký hiệu	ĐVT	Giá trị
1	Vật liệu chế tạo		36Mn5	
2	Tiêu chuẩn thiết kế		ISO 1328:1997 Cấp chính xác: 7	
3	Module của bộ truyền	m	mm	12
4	Tỉ số truyền của bộ truyền	U		6
5	Số vòng quay của bánh răng chủ động	$n_1$	v/p	36
6	Số vòng quay của bánh răng bị động	$n_2 = n$	v/p	6
7	Số răng bánh chủ động	$Z_1$	răng	26
8	Số răng bánh bị động	$Z_2$	răng	156
9	Chiều rộng vành răng bánh chủ động	$b_{w1}$	mm	130
10	Chiều rộng vành răng bánh bị động	$b_{w2}$	mm	125
11	Công suất trên trục bánh răng chủ động	$P_{br1}$	kW	7
12	Công suất trên trục bánh răng bị động	$P_{br2}$	kW	6,72

TT	Tên gọi	Ký hiệu	ĐVT	Giá trị
13	Mô men xoắn tối đa trên trục bánh răng chủ động	$T_{br1}$	N.mm	$1857 \cdot 10^3$
14	Mô men xoắn tối đa trên bánh răng bị động (lồng quay)	$T_{br2}$	N.mm	$10700 \cdot 10^3$
15	Lực vòng tác dụng lên bộ truyền	$F_t$	N	11902
16	Lực hướng kính tác dụng lên bộ truyền	$F_r$	N	4332

- Ứng dụng phần mềm Autodesk Inventor thiết kế mô hình bánh răng với các thông số lựa chọn trên Hình 4, 5, 6.



**Hình 5. Chọn tiêu chuẩn và cấp chính xác thiết kế**



**Hình 6. Kiểm nghiệm trên phần mềm với tuổi thọ 36000 giờ**

Nhận xét: Sau khi nhập các thông số hình học tính toán ở trên và các điều kiện tải trọng, bộ truyền thiết kế đảm bảo điều kiện bền.



Hình 7. Mô hình cơ bản của bộ truyền thiết kế theo điều kiện lắp

Hình 7 thể hiện kết cấu cơ bản sau khi thiết kế trên phần mềm Autodesk Inventor.

Khối lượng của chi tiết bánh răng chủ động:  $m_1=69,5$  kg.

Khối lượng của chi tiết bánh răng chủ động:  $m_2=751,3$  kg.

**3. TỐI ƯU HÓA CẤU TRÚC THIẾT BỊ SẤY LÒNG QUAY**

**3.1. Nghiên cứu lý thuyết tối ưu hóa cấu trúc**

Trong tối ưu hóa cấu trúc (Topology Optimization-TO) bao gồm tối ưu hóa hình dạng, kết cấu và kích thước. Trong tối ưu hóa hình dạng kích thước, hình dạng và kích thước của các thành phần có thể bị thay đổi, nếu nhà thiết kế không biết hình dạng và thiết kế của chi tiết sẽ thay đổi như thế nào thì TO cần được sử dụng. Theo [7] có hai đặc tính riêng biệt chính của Topology Optimization là:

- Tính chất đàn hồi của vật liệu như là một hàm của mật độ của nó, có thể thay đổi trên toàn bộ miền thiết kế. Trong đó biến dạng ( $U^T$ ) và độ cứng ( $K$ ) liên quan đến cấu trúc và vật liệu, được viết dưới dạng ma trận và năng lượng đàn hồi tiến tới giá trị nhỏ nhất.

$$\text{Minimize } c = \frac{1}{2} \cdot U^T \cdot KU \tag{12}$$

$$KU = F \tag{13}$$

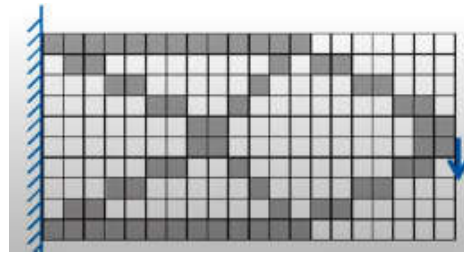
F là ma trận lực đàn hồi

- Cấu trúc vĩ mô được coi là một thể đồng nhất và rời rạc thành một mô hình phần tử hữu hạn. Đối với mỗi phần tử, giả sử rằng ma trận độ cứng phụ thuộc vào biến mật độ phần tử giả tuyến tính và năng lượng biến dạng cấu trúc được giảm thiểu sự giằng buộc về khối lượng. Để đánh giá ảnh hưởng của các khu vực trên kết cấu của sản phẩm tới năng lượng đàn hồi, sử dụng biến mật độ giả đơn vị của phần tử ký hiệu là  $\rho_i$  đại diện cho vật rắn khi nó nhận giá trị là 1 và khoảng trống khi nó nhận giá trị là 0.

$$\rho_i \in [0,1], \forall i \tag{14}$$

Trong miền thiết kế tại một số khu vực tác động lớn đến hàm mục tiêu nếu tăng mật độ, ngược lại một số khu vực ít ảnh hưởng đến hàm mục tiêu nếu tăng mật độ.

- Tối ưu hóa cấu trúc là quá trình xác định vùng nào là quan trọng, vùng nào ít quan trọng để tăng tỉ trọng ở vùng quan trọng và giảm năng lượng đàn hồi, quá trình đó được thực hiện bởi phép rời hình, quá trình đó được lặp đi lặp lại bởi biến mật độ giả và mỗi lần lặp lại được kiểm tra so với lần lặp trước, nếu sự thay đổi nhỏ đối với lần lặp trước đó thì có thể kết luận nó hội tụ ví dụ được trình bày trong Hình 8.

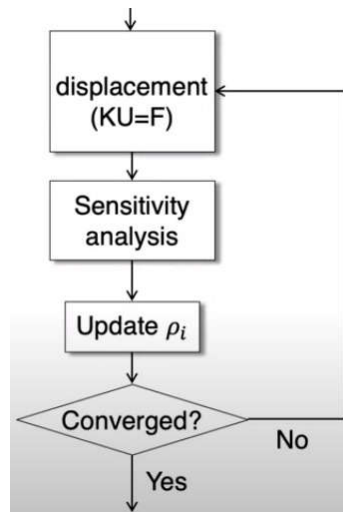


Hình 8. Mô hình tối ưu hóa kết cấu dầm  
Màu đen: Khi có vật liệu  $\rho_i=1$ ; Màu trắng: Khi không có vật liệu  $\rho_i=0$

Việc đánh giá kết quả tối ưu của mô hình ở trạng thái hội tụ của cấu trúc liên kết được thông qua phương trình (14), với lượng thể tích giảm (g) khi so sánh giữa thể tích sau khi tối ưu với thể tích ban đầu của mô hình ở trạng thái năng lượng đàn hồi nhỏ nhất và độ cứng đảm bảo theo mô hình khởi thủy.

$$g = \sum \rho_i - V_0 \leq 0 \tag{15}$$

- Từ các phương trình (12), (13), (14), (15) xây dựng thuật toán tối ưu hóa cấu trúc.



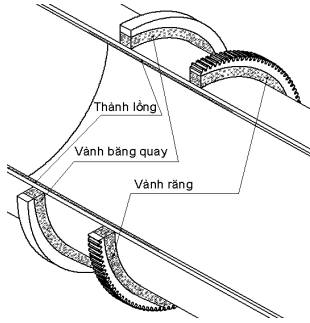
Hình 9. Thuật toán tối ưu hóa cấu trúc liên kết

Trên thuật toán này quá trình dời (displacement) hình diễn ra liên tục cùng với đó là quá trình đó phân tích độ nhạy (Sensitivity analysis) và sắp xếp các cấu trúc theo giá trị của biến mật độ giả (Update  $\rho_i$ ), tín hiệu được phản hồi liên tục khi đạt được giá trị năng lượng đàn hồi nhỏ nhất (minimize c) thì quá trình phân tích kết thúc.

**3.2. Lựa chọn khu vực vật liệu tối ưu hóa cho cấu trúc của lồng quay**

- Chuyển động làm việc của lồng quay là chuyển động tròn đều quanh trục cố định nhờ hai gối đỡ chữ V, do đó về mặt kết cấu để đảm bảo tính ổn định, khả năng chống rung động và độ đảo kết cấu, lồng quay được thiết kế ở dạng tròn xoay và đối xứng, do đó về mặt kết cấu đã đảm bảo hợp lý. Bài toán tối ưu hóa cấu trúc của lồng quay được rút gọn bằng bài toán tối ưu hóa kích thước lồng quay. Căn cứ vào đặc điểm làm việc và kết cấu của các chi tiết trên thiết bị xây dựng mô hình tối ưu từ mô hình thiết kế sơ bộ tiến hành lựa chọn vùng vật liệu có ứng suất nhỏ, cụ thể là tiến hành tối ưu hóa kích thước chiều dày vành răng cho bánh răng

bị động, chiều dày vành băng quay và chiều dày thành lồng quay. Kết cấu sơ bộ và khu vực tối ưu được trình bày trên Hình 10.



Hình 10. Mô hình kết cấu lồng quay trong thiết kế sơ bộ (dạng khởi thủy)

Ứng dụng phần mềm Altair Inspire [7], thực hiện tối ưu hóa, bao gồm các bước sau:

Bước 1: Phân tích các điều kiện làm việc: Tải trọng, liên kết.

Bước 2: Xây dựng mô hình tối ưu.

Bước 3: Tạo và gán các đặc tính vật liệu.

Bước 4: Chia lưới cấu trúc.

Bước 5: Phân tích ứng suất xác định khu vực vật liệu ít nhạy cảm để xác định vùng vật liệu tối ưu.

Bước 6: Lựa chọn chỉ tiêu tối ưu, chạy chương trình tối ưu cho kết quả là mô hình tối ưu dạng file đám mây điểm (stl).

Bước 7: Đối với mô hình tối ưu phức tạp sử dụng phương pháp hình học đa thức theo công nghệ Synchronous thiết kế mô hình đặc của chi tiết được tối ưu.

Bước 8: Đánh giá hiệu quả tối ưu thông qua độ lớn về thể tích hoặc khối lượng.

Việc phân chia các bước thực hiện tối ưu như trên chỉ mang tính tương đối, quá trình thực hiện còn phụ thuộc vào đặc tính, trạng thái của sản phẩm tối ưu.

Ví dụ về tối ưu chiều dày vành răng bánh bị động (bánh lớn) có  $m = 12$ ,  $Z_2 = 156$  được trình bày trong mục (1.3.3).

### 3.3. Tối ưu hóa kích thước trên cấu trúc lồng quay bằng phần mềm Altair Inspire

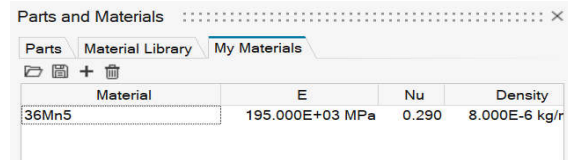
#### a. Tối ưu hóa kích thước vành bánh răng bị động

- Điều kiện làm việc: Mô men xoắn trên bánh răng  $T_{br2} = 107.10^5(N.mm)$ , tốc độ quay của bánh răng 2 là  $n_2=6(v/p)$ .



Hình 11. Mô hình phân tích CAE trên bánh răng

- Thiết lập vật liệu.



Hình 12. Thiết lập đặc tính vật liệu thép C45

- Chia lưới phần tử.

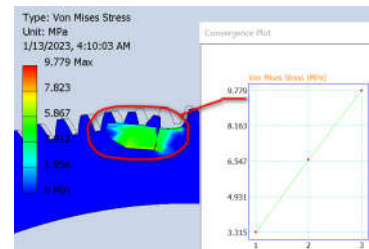


Hình 13. Chia lưới phân tích với 666531 phần tử hình chóp tam giác, số nút là 1035840, độ chính xác 0,01mm

- Phân tích ứng suất .

Việc phân tích ứng suất nhằm xác định khu vực vật liệu ít nhạy cảm tới năng lượng đàn hồi để dự báo khu vực vật liệu tối ưu.

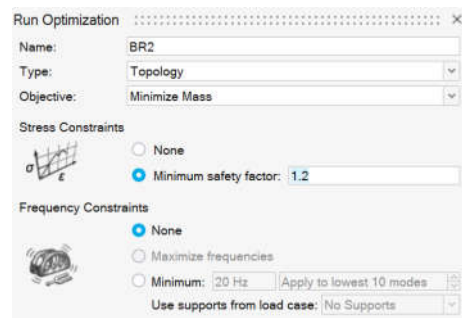
Kết quả phân tích trên phần mềm Altair Inspire cho giá trị ứng suất lớn nhất là  $\sigma_{max} = 9,779Mpa < [\sigma_b] = 600Mpa$  tập chung ở phần thân răng, sau đó ứng suất giảm dần về  $\sigma_{min} = 3,315Mpa$ , đồ thị ứng suất được biểu diễn trên hình (Hình 14).



Hình 14. Đồ thị phân tích ứng suất

Từ kết quả phân tích ở trên dự báo được khu vực vật liệu có ảnh hưởng lớn tới năng lượng đàn hồi tại vị trí chân răng, vật liệu độ nhạy cảm giảm dần theo chiều hướng vào tâm bánh răng và khu vực này là khu vực vật liệu cần tối ưu.

- Lựa chọn mục tiêu tối ưu: Để lựa chọn được mục tiêu tối ưu hóa cấu trúc trước hết cần đánh giá độ bền theo ứng suất sinh ra dưới tác dụng của tải trọng (mô men xoắn, lực vòng, lực hướng kính, trọng lực bản thân chi tiết) và chọn phương án tối ưu là vật liệu nhỏ nhất (Minimize mass) với giàng buộc độ cứng không đổi (constant Stiffness), việc lựa chọn chỉ tiêu tối ưu hóa được trình bày trên (Hình 15).



Hình 15. Lựa chọn chỉ tiêu tối ưu

- Phân tích, lựa chọn mô hình tối ưu hóa cấu trúc: Gán các điều kiện phân tích như tải trọng, vật liệu, liên kết, mục tiêu tối ưu và chạy chương trình tối ưu, kết quả phân tích giới thiệu 2 mô hình tối ưu được trình bày trên Hình 16 và 17 như sau:



Hình 16. Mô hình tối ưu phương án 1 (Không lựa chọn) Hình 17. Mô hình tối ưu phương án 2 (Lựa chọn)

Hai phương án tối ưu đều tỷ lệ vật liệu giữ lại là tương đương, tuy nhiên trong phương án 1 làm giảm chiều rộng vành răng do đó không đảm bảo điều kiện ăn khớp và làm tăng ứng suất tiếp xúc trên bề mặt răng, mặt khác phần vật liệu tối ưu đã phạm phải khu vực nhạy cảm, do đó phương án này không hợp lý. Đối với phương án 2 phần vật liệu được tối ưu nằm ở phía thân bánh răng tại các vị trí này vật liệu có độ nhạy cảm nhỏ, ứng suất nhỏ và không làm ảnh hưởng tới điều kiện ăn khớp và ứng suất tiếp xúc trên bề mặt răng.

- Sau khi thiết kế ngược lại từ mô hình tối ưu (Hình 17) xây dựng được mô hình đặc tối ưu (Hình 18b).

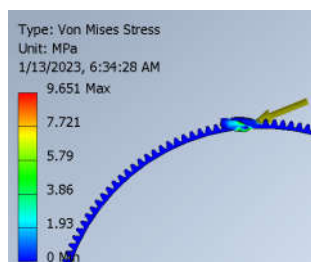


Hình 18a. Mô hình trước khi tối ưu  $V_1 = 92218029 \text{ mm}^3$  Hình 18b. Mô hình sau khi tối ưu  $V_2 = 19777990 \text{ mm}^3$

Tỷ lệ khối lượng (thể tích) tối ưu được:

$$\Delta V(\%) = 100\% \left(1 - \frac{V_2}{V_1}\right) = 78,56\% \quad (16)$$

- Hình 19 thể hiện việc kiểm nghiệm lại mô hình thiết kế.



Hình 19. Kiểm nghiệm ứng suất cho chi tiết sau khi tối ưu  
Nhận xét: Sau khi tối ưu hóa cấu trúc, ứng suất của chi tiết bánh răng trong quá trình làm việc tăng lên, tuy nhiên vẫn đảm bảo nằm trong giới hạn cho phép.

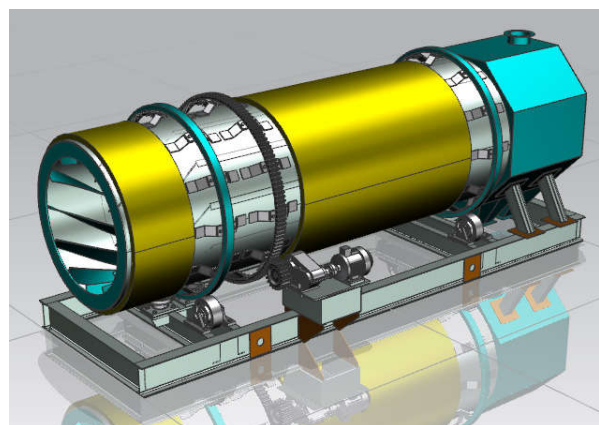
- So với chi tiết trước khi tối ưu, ứng suất trên chi tiết sau khi tối ưu tăng lên, tuy nhiên tiết bánh răng sau khi tối ưu hóa cấu trúc vẫn đủ điều kiện bền.

- Sau khi tối ưu hóa cấu trúc cho thiết kế thiết bị sấy lồng quay, tổng hợp số liệu cơ bản tính toán được trình bày trong Bảng 2.

Bảng 2. Tổng hợp các số liệu cơ bản tính toán

TT	Tên gọi	Ký hiệu	ĐVT	Giá trị
1	Chiều dài lồng quay	L	mm	6500
2	Chiều dày thành lồng quay	t	mm	12
3	Góc nghiêng lồng quay	$\alpha$	0	11
4	Đường kính lồng quay	D	mm	1600
5	Tốc độ quay của lồng	n	v/ph	6
6	Công suất động cơ	$P_{đc}$	kW	7,5
7	Tốc độ quay động cơ dẫn động	$n_{đc}$	v/p	1450
8	Tỉ số truyền hộp giảm tốc	$i_h$		40,17
9	Thời gian lưu	t	phút	7,4
10	Khối lượng rác thải trên lồng quay	M	kg	253
11	Module của bộ truyền bánh răng trụ răng thẳng	m	mm	12
12	Số răng bánh chủ động	$Z_1$	răng	26
13	Số răng bánh bị động	$Z_2$	răng	156

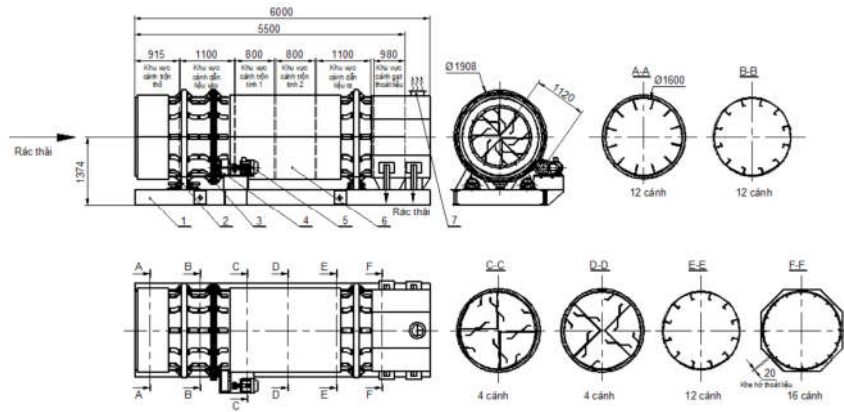
- Từ kết quả tính toán, tối ưu hóa cấu trúc như trên xây dựng được mô hình của thiết bị sấy lồng quay như Hình 20.



Hình 20. Mô hình thiết bị sấy lồng quay

1. Khung thép I300×130×20×10;
2. Gối đỡ con lăn;
3. Cặp bánh răng trụ  $m = 16, Z_1 = 20, Z_2 = 120$ ;
4. Hộp giảm tốc ZQ400;
5. Động cơ điện YCT200-4B;
6. Lồng quay  $\Phi 1600 \times 5000 \text{ mm}$ ;
7. Cửa ra rác;
8. Cửa thoát khí.

Từ mô hình thiết bị sấy lồng quay Hình 20 truy xuất được bản vẽ lắp trình bày trên Hình 21.



Hình 21. Bản vẽ lắp thiết bị sấy lồng quay

## KẾT LUẬN

Từ cơ sở các lý thuyết nội dung bài báo đã tính toán, thiết kế và xây dựng được mô hình thiết bị sấy lồng quay, nghiên cứu được lý thuyết về tối ưu hóa và xây dựng được thuật toán tối ưu hóa cấu trúc liên kết và đưa ra các chỉ tiêu tối ưu hóa cấu trúc các chi tiết điển hình trên thiết bị sấy lồng quay, ứng dụng công nghệ phân tích CAE và công nghệ tối ưu hóa theo hàm mục tiêu đảm bảo độ cứng và giảm chi phí vật liệu, chi phí gia công và tiêu hao năng lượng cho thiết bị, góp phần nâng cao hiệu quả kinh tế, kỹ thuật. Đồng thời nội dung bài báo làm cơ sở cho việc tham khảo tính toán, tối ưu cho thiết bị sấy lồng quay trong dây chuyền xử lý rác thải là một vấn đề mang tính thời sự hiện nay.

## LỜI CẢM ƠN

Kết quả nghiên cứu này thuộc đề tài KHCN cấp cơ sở, mã số 15.KHCN/21-22 được tài trợ bởi Trường Đại học Sao Đỏ.

## TÀI LIỆU THAM KHẢO

- [1]. Barber-Greene Company (1960), *Dryer Testing*, Aurora, Illinois, U.S.A.
- [2]. Keey, R.B (1978), *Introduction to Industrial Drying Operations*, Pergamon Press, Oxford.
- [3]. Sàng lồng, sàng quay, sàng phân loại rác, <<http://maynhuahatnhua.com/day-chuyen-xu-ly-rac-thai-nhua/sang-long-sang-quay-sang-phan-loai-rac...-vn-p-444-0.html>> xem 10/01/2023
- [4]. Jordan Konidis (1984), *Design of Direct Heated Rotary Dryers*, Presented in Partial Fulfillment of the Requirements for the degree of Master of Engineering at Concordia University Montreal, Qufbec.
- [5]. Trịnh Chất, Lê Văn Uyển (2006), *Tính toán hệ dẫn động cơ khí tập 1*, NXB Giáo dục.
- [6]. PGS.TS. Phạm Sơn Minh (2020), *Ứng dụng trí tuệ nhân tạo trong thiết kế chi tiết cơ khí*, NXB Đại học Quốc gia TP. Hồ Chí Minh.
- [7]. help.altair, <[https://2021.help.altair.com/2021.2/inspire/en\\_us/topics/inspire/tutorials/motion\\_tutorials\\_c.ht](https://2021.help.altair.com/2021.2/inspire/en_us/topics/inspire/tutorials/motion_tutorials_c.ht)> xem 10/01/2023

## AUTHOR INFORMATION

**Mac Van Giang**

Corresponding Author: [macvngiang@gmail.com](mailto:macvngiang@gmail.com)

Sao Do University.

# THẺ LỆ GỬI BÀI

## TẠP CHÍ NGHIÊN CỨU KHOA HỌC, TRƯỜNG ĐẠI HỌC SAO ĐỎ

Tạp chí Nghiên cứu khoa học, Trường Đại học Sao Đỏ (P. ISSN 1859-4190, E. ISSN 2815-553X), thường xuyên công bố kết quả, công trình nghiên cứu khoa học và công nghệ của các nhà khoa học, cán bộ, giảng viên, nghiên cứu sinh, học viên cao học, sinh viên ở trong và ngoài nước.

1. Tạp chí xuất bản 01 số/quý bằng hai ngôn ngữ tiếng Việt và tiếng Anh. Tạp chí nhận đăng các bài báo khoa học thuộc các lĩnh vực: Điện - Điện tử - Tự động hóa; Cơ khí - Động lực; Kinh tế; Triết học - Xã hội học - Chính trị học; Các lĩnh vực khác gồm: Công nghệ thông tin; Hóa học - Công nghệ thực phẩm; Ngôn ngữ học; Toán học; Vật lý; Văn hóa - Nghệ thuật - Thể dục thể thao...
2. Bài nhận đăng là những công trình nghiên cứu khoa học chưa công bố trong bất kỳ ấn phẩm khoa học nào.
3. Tòa soạn chỉ nhận bài báo gửi online trên website <http://tapchikhcn.saodo.edu.vn>. Bài báo gửi về tòa soạn dưới dạng file điện tử (\*.doc \*.docx và \*.pdf); cuối bài báo, tác giả ghi rõ thông tin địa chỉ liên hệ, số điện thoại, email và cập nhật thông tin trên website. Bài báo phải được trình bày đúng định dạng, rõ ràng; Trường hợp bài báo phải chỉnh sửa theo thể lệ hoặc theo yêu cầu của Phản biện thì tác giả sẽ cập nhật trên website. Người phản biện sẽ do tòa soạn mời. Tòa soạn không gửi lại bài nếu không được đăng.
4. Các công trình thuộc đề tài nghiên cứu có Cơ quan quản lý cần kèm theo giấy phép cho công bố của cơ quan (Tên đề tài, mã số, tên chủ nhiệm đề tài, cấp quản lý,...).
5. Tên bài báo trình bày bằng hai ngôn ngữ (tiếng Việt và tiếng Anh), font Arial, cỡ chữ 14, in đậm, căn giữa.
6. Tên tác giả (không ghi học hàm, học vị), font Arial, cỡ chữ 10, in đậm, căn lề phải; cơ quan công tác của các tác giả, font Arial, cỡ chữ 9, in nghiêng, căn lề phải.
7. Chữ "Tóm tắt" in đậm, font Arial, cỡ chữ 10; Nội dung tóm tắt của bài báo không quá 10 dòng, trình bày bằng hai ngôn ngữ (tiếng Việt và tiếng Anh), font Arial, cỡ chữ 10, in thường.
8. Chữ "Từ khóa" in đậm, nghiêng, font Arial, cỡ chữ 10; Có từ 03÷05 từ khóa, font Arial, cỡ chữ 10, in nghiêng, ngăn cách nhau bởi dấu chấm phẩy, cuối cùng là dấu chấm.
9. Nội dung bài báo viết bằng tiếng Việt hoặc tiếng Anh; Nếu là bài báo viết bằng tiếng Việt: Tiêu đề tiếng Việt trước, tiếng Anh sau; Tóm tắt tiếng Việt trước, tiếng Anh sau; Từ khóa tiếng Việt trước, tiếng Anh sau; Nếu là bài báo viết bằng tiếng Anh: Tiêu đề tiếng Anh trước, tiếng Việt sau; Tóm tắt tiếng Anh trước, tiếng Việt sau; Từ khóa tiếng Anh trước, tiếng Việt sau.
10. Bài báo được đánh máy trên khổ giấy A4 (21 × 29,7cm) có độ dài không quá 8 trang, font Arial, cỡ chữ 10, giãn dòng At least 12pt, Before 3pt, After 3pt; căn lề trên 2.5cm, dưới 2.5cm, trái 3cm, phải 2cm; hình vẽ phải rõ ràng, đủ nét và được định dạng dưới dạng file ảnh (\*.jpg); Phương trình, công thức phải soạn thảo bằng Mathtype hoặc Equation; Phần nội dung bài báo được chia thành 02 cột, khoảng cách cột là 1cm; Trong trường hợp hình vẽ, hình ảnh có kích thước lớn, bảng biểu có độ rộng lớn hoặc công thức, phương trình dài thì cho phép trình bày dưới dạng 01 cột.
11. Tài liệu tham khảo được sắp xếp theo thứ tự tài liệu được trích dẫn trong bài báo.
  - Nếu là sách/luận án: Tên tác giả (năm), Tên sách/luận án/luận văn, Nhà xuất bản/Trường/Viện, lần xuất bản/tái bản.
  - Nếu là bài báo/báo cáo khoa học: Tên tác giả (năm), Tên bài báo/báo cáo, Tạp chí/Hội nghị/Hội thảo, Tập/Kỷ yếu, số, trang.
  - Nếu là trang web: Phải trích dẫn đầy đủ tên website và đường link, ngày cập nhật.
12. Định dạng mẫu bài báo tham khảo tại địa chỉ [http://tapchikhcn.saodo.edu.vn/news/detail/198/format\\_paper](http://tapchikhcn.saodo.edu.vn/news/detail/198/format_paper)  
Bài báo sau khi xuất bản sẽ được công bố trên <http://tapchikhcn.saodo.edu.vn>.

### THÔNG TIN LIÊN HỆ:

**Ban Biên tập Tạp chí Nghiên cứu khoa học, Trường Đại học Sao Đỏ**

Phòng 203, Tầng 2, Nhà B1, Trường Đại học Sao Đỏ.

Địa chỉ: Số 76, Nguyễn Thị Duệ, Thái Học 2, phường Sao Đỏ, thành phố Chí Linh, tỉnh Hải Dương.

Điện thoại: (0220) 3587213, Fax: (0220) 3882921, Hotline: 0912 107858/0936 847980.

Website: <http://tapchikhcn.saodo.edu.vn>

Email: [tapchikhcn@saodo.edu.vn](mailto:tapchikhcn@saodo.edu.vn)



**BỘ CÔNG THƯƠNG**

**TRƯỜNG ĐẠI HỌC SAO ĐỎ**

**Địa chỉ:**

- **Số 1:** Số 76, Nguyễn Thị Duệ, Thái Học 2, phường Sao Đỏ, thành phố Chí Linh, tỉnh Hải Dương.
- **Số 2:** Số 72, đường Nguyễn Thái Học, phường Thái Học, thành phố Chí Linh, tỉnh Hải Dương.
- **Điện thoại:** (0220) 3882 269 **Fax:** (0220) 3882 921 **Website:** <http://saodo.edu.vn> **Email:** [info@saodo.edu.vn](mailto:info@saodo.edu.vn)

**P. ISSN 1859-4190**  
**E. ISSN 2815-553X**

**Số 3 (82)**  
**2023**



**Địa chỉ Tòa soạn:**

Trường Đại học Sao Đỏ.

Số 76, Nguyễn Thị Duệ, Thái Học 2, phường Sao Đỏ, thành phố Chí Linh, tỉnh Hải Dương.

Điện thoại: (0220) 3587213, Fax: (0220) 3882 921, Hotline: 0912 107858/0936 847980.

Website: <http://tapchikhcn.saodo.edu.vn/> Email: [tapchikhcn@saodo.edu.vn](mailto:tapchikhcn@saodo.edu.vn).

Giấy phép xuất bản số: 620/GP-BTTTT ngày 17/9/2021 của Bộ Thông tin và Truyền thông.  
In 2.000 bản, khổ 21 × 29,7cm, tại Công ty TNHH in Tre Xanh, cấp ngày 17/02/2011.